

اثر ایمی‌پرامین بر اختلال حافظه در موش صحرایی مدل مسیر سیگنالینگ انسولین و پروتئین Reelin

المیرا بیرامی^۱, دلارام اسلیمی اصفهانی^۱, علیرضا جمشیدی حسن آبادی^۲

مقاله پژوهشی

چکیده

مقدمه: بیماری آلزایمر، یک اختلال عصبی پیشرونده است که باعث مختل شدن عملکردهای شناختی می‌شود. ایمی‌پرامین، نوعی داروی ضدافسردگی با اثرات آنتی‌اکسیدانی و ضدالتهابی در مغز می‌باشد. هدف از مطالعه‌ی حاضر، بررسی اثر ایمی‌پرامین بر اختلال حافظه با تمرکز بر مسیر سیگنالینگ انسولین و شکل‌پذیری سیناپسی در موش‌های صحرایی تیمار شده با استرپتوزوتوسین (Streptozotocin) بود.

روش‌ها: در مطالعه‌ی تجربی حاضر، ۳۲ سر موش صحرایی نر نژاد ویستار در ۴ گروه شاهد، STZ-ایمی‌پرامین و ایمی‌پرامین قرار گرفتند. القاء مدل حوانی بیماری آلزایمر با تزریق درون بطی STZ (۳mg/kg) در هر بطن (نجام گرفت). تست ماز بعلوه‌ی شکل مرتفع و آزمون یادگیری اجتنابی غیرفعال جهت بررسی عملکردهای شناختی مورد استفاده قرار گرفتند. تیمار با ایمی‌پرامین (۲۰mg/kg) به صورت داخل صفاقی و به مدت ۱۴ روز انجام گرفت. بررسی میزان بیان ژن انسولین و فاکتورهای دخیل در مسیر سیگنالینگ انسولین (mTOR, Akt, PI3K, IRS2, IR) و Real-time PCR و ارزیابی سطح پروتئین Reelin (فاکتور دخیل در شکل‌پذیری سیناپسی) توسط تکنیک وسترن بلات انجام شد. جهت تجزیه و تحلیل داده‌ها از آزمون آنالیز واریانس یک‌طرفه و آزمون تعقیبی Tukey استفاده شد.

یافته‌ها: نتایج نشان داد که STZ منجر به بروز اختلالات حافظه در موش‌ها شد و بیان ژن انسولین، فاکتورهای دخیل در مسیر سیگنالینگ انسولین و نیز سطح پروتئین Reelin را کاهش داد. در حالی که ایمی‌پرامین، سبب کاهش اختلالات حافظه و نیز افزایش بیان فاکتورهای مذکور در هیبوکامپ حیوانات تیمار شده با STZ گردید.

نتیجه‌گیری: به نظر می‌رسد، ایمی‌پرامین از طریق تأثیر بر مسیر سیگنالینگ انسولین و پروتئین دخیل در شکل‌پذیری سیناپسی سبب کاهش اختلالات حافظه در حیوانات تیمار شده با STZ می‌گردد.

وازگان کلیدی: ایمی‌پرامین؛ بیماری آلزایمر؛ اختلال حافظه؛ انسولین؛ پروتئین Reelin

ارجاع: بیرامی المیرا، اسلیمی اصفهانی دلارام، جمشیدی حسن آبادی علیرضا. اثر ایمی‌پرامین بر اختلال حافظه در موش صحرایی مدل بیماری آلزایمر: دخالت مسیر سیگنالینگ انسولین و پروتئین Reelin. مجله دانشکده پزشکی اصفهان ۴۱(۷۳۲): ۷۱۸-۷۰۸.

مقدمه

آلزایمر، نوعی بیماری مغزی مزمن و پیشرونده است که باعث مختل شدن حافظه، عدم توجه و تمرکز و نیز بروز اختلالات خلقی و رفتاری می‌شود. در این بیماری، تجمع پروتئین آمیلوئید بتا، استرس اکسیداتیو، التهاب، کاهش تعداد و عملکرد نورون‌های کولینرژیک، کاهش شکل‌پذیری سیناپسی و در نهایت مرگ نورونی سبب پیشرفت بیماری می‌شوند (۱). به منظور القاء این بیماری در مطالعات حیوانی، تزریق درون بطی مغزی (STZ) (Streptozotocin) در دوز پایین تر

از دوز ایجاد کننده دیابت (۳mg/kg)، به طور گستردگی مورد استفاده قرار می‌گیرد. در این روش، STZ سبب بروز استرس اکسیداتیو، التهاب مزمن عصبی، تجمع پروتئین تائو هیپرفسفوریله، اختلال در مسیر سیگنالینگ انسولین و در نهایت بروز اختلالات شناختی می‌شود که مشابه با اختلالات مشاهده شده در مغز بیماران آلزایمری می‌باشدند (۲).

انسولین و سیگنالینگ متأثر از آن برای رشد و محافظت از سلول‌های عصبی اهمیت بسزایی دارند. حضور انسولین و گیرنده‌های

۱- استادیار، گروه علوم جانوری، دانشکده علوم زیستی، دانشگاه خوارزمی، تهران، ایران

۲- کارشناسی ارشد، گروه علوم جانوری، دانشکده علوم زیستی، دانشگاه خوارزمی، تهران، ایران

نویسنده‌ی مسؤول: المیرا بیرامی؛ استادیار، گروه علوم جانوری، دانشکده علوم زیستی، دانشگاه خوارزمی، تهران، ایران

Email: elmira.beirami@knu.ac.ir

سایپوکاین‌هایی پیش‌التهابی، اثرات ضدالتهابی و محافظتی در مغز اعمال می‌نماید (۱۲). در رابطه با تأثیر ایمی پرامین بر مسیر سیگنالینگ انسولین و شکل‌پذیری سیناپسی در بیماری آلزایمر، تحقیقات بسیار محدودی در دسترس می‌باشد و در این خصوص مطالعه‌ای نشان داده است که ایمی پرامین با اثر بر بیان IRS-1 (فاکتور دخیل در مسیر سیگنالینگ انسولین) در هیپوکامپ، می‌تواند اختلال در حافظه‌ی فضایی موش مدل بیماری آلزایمر را تحت تأثیر قرار دهد (۱۳). با توجه به عدم شناسایی دقیق مکانیسم‌های مولکولی زمینه‌ساز بیماری آلزایمر و نیز با توجه به اهمیت سیگنالینگ انسولین و شکل‌پذیری سیناپسی در فرایندهای شناختی و عدم وجود مطالعات کافی در رابطه با تأثیر ایمی پرامین بر سیگنالینگ انسولین و شکل‌پذیری سیناپسی در بیماری آلزایمر، هدف از مطالعه‌ی حاضر، بررسی اثر ایمی پرامین بر عملکردهای شناختی و نیز میزان بیان فاکتورهای دخیل در مسیر سیگنالینگ انسولین و پروتئین Reelin در موش‌های صحرابی تیمار شده با STZ بود تا مشخص شود آیا ایمی پرامین می‌تواند از طریق تعدیل بیان فاکتورهای دخیل در مسیر سیگنالینگ انسولین و شکل‌پذیری سیناپسی موجب بهبود و یا کاهش تقاضی حافظه در یک مدل حیوانی از بیماری آلزایمر گردد یا خیر.

روش‌ها

حیوانات: در این مطالعه‌ی تجربی، از ۳۲ سر موش صحرابی نر بالغ نژاد ویستان در محدوده‌ی وزنی ۲۷۰-۲۳۰ گرم استفاده شد. موش‌ها در شرایط آزمایشگاهی استاندارد (دماهی $20 \pm 2^\circ\text{C}$ ، رطوبت $50 \pm 10\%$ و چرخه‌ی تاریکی- روشنایی ۱۲ ساعته) نگهداری شدند و دسترسی آزاد به آب و غذای استاندارد را داشتند.

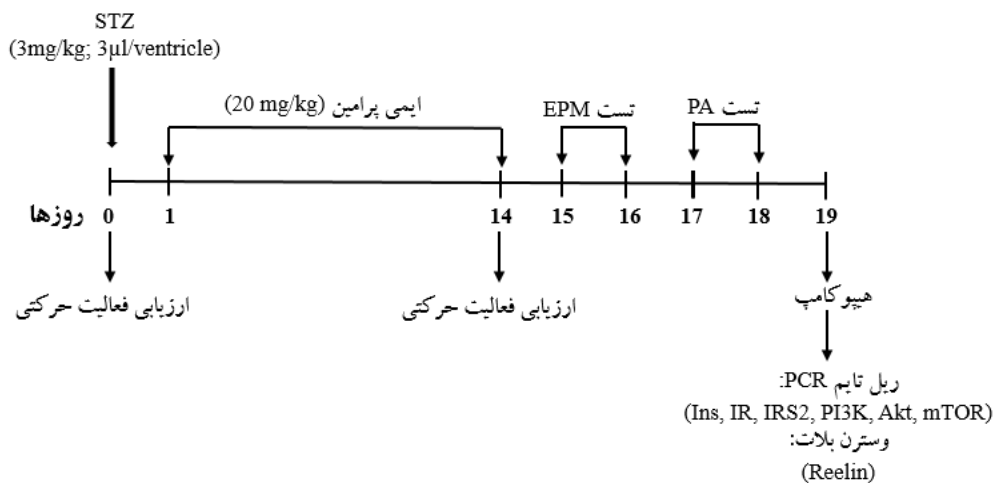
گروه‌بندی حیوانات: در این مطالعه موش‌ها در ۴ گروه ۸ تایی به ترتیب زیر قرار گرفتند: ۱- گروه شاهد: تزریق درون بطی نرمال‌سالین ($3 \mu\text{l}$ در هر بطن) + تزریق داخل صفاقی نرمال‌سالین، ۲- گروه STZ: تزریق درون بطی $3 \mu\text{l} \text{ mg/kg}$ STZ در هر بطن) + تزریق داخل صفاقی نرمال‌سالین، ۳- گروه STZ و ایمی پرامین (STZ+Imi): تزریق درون بطی $3 \mu\text{l} \text{ mg/kg}$ STZ در هر بطن) + تزریق داخل صفاقی ایمی پرامین (20 mg/kg) در ۴- گروه ایمی پرامین (Imi): تزریق درون بطی نرمال‌سالین ($3 \mu\text{l}$ در هر بطن) + تزریق داخل صفاقی ایمی پرامین (20 mg/kg) در ایمی پرامین بلا فاصله قبل از تزریق در نرمال‌سالین $0/9$ درصد حل شدند. میزان حجم نرمال‌سالین در تزریق داخل صفاقی متناسب با وزن بدن حیوان بود. انتخاب دوز STZ (3 mg/kg) و تزریق آن بصورت تک دوز در روز صفر، به منظور القاء مدل حیوانی بیماری آلزایمر، بر اساس مطالعات قبلی انجام گرفت (۱۴).

آن در نواحی مختلفی از مغز همچون هیپوکامپ دلالت بر اهمیت انسولین در عملکردهای شناختی دارد (۳). انسولین بعد از اتصال به رسپتور خود سبب فعال شدن دو مسیر سیگنالینگ مهم از جمله مسیر Ras/MAPK و PI3K/Akt پروتئین‌های مختلف، تنظیم متابولیسم گلوکز، محافظت در برابر آپوپتوز و استرس اکسیداتیو، بقاء سلول‌های عصبی، شکل‌پذیری سیناپس و نیز بهبود عملکردهای شناختی شوند (۴). مطالعات مختلف، اختلال در مسیر سیگنالینگ انسولین PI3K/Akt را در مغز بیماران آلزایمری گزارش کرده‌اند. این اختلالات عمده‌تاً با کاهش در سطح فسفوریلاسیون فاکتورهای دخیل در مسیر سیگنالینگ انسولین و یا کاهش در فاکتورهای دخیل در این مسیر در نواحی درگیر در حافظه و یادگیری همراه هستند (۵). همچنین گزارش شده است که اختلال در مسیر سیگنالینگ انسولین می‌تواند با افزایش تجمع پروتئین آمیلوبلید بتا، افزایش هایپرفیسفوریلاسیون پروتئین تاثیر، افزایش التهاب عصبی، بروز استرس اکسیداتیو و نیز اختلال در فرایند نوروژن سبب پیشرفت بیماری آلزایمر گردد (۶).

نقص در نوروژن و شکل‌پذیری سیناپسی نیز با بروز اختلال در فرایندهای شناختی همراه می‌باشد. Reelin یکی از گلیکوپروتئین‌های بزرگ در ماتریکس خارج سلولی بوده و نقش مهمی در رشد و تکامل مغز دارد. در مغز بالغین توسط ایترنورون‌های گاباگلریک موجود در قشر مغز و هیپوکامپ ترشح شده و در مهاجرت نورونی، بلوغ نورون‌ها، افزایش خارهای دندانی، افزایش نوروژن و شکل‌پذیری سیناپسی و نیز تسهیل یادگیری و حافظه نقش مهمی را ایفاء می‌کند (۷). مطالعات متعدد کاهش سطوح mRNA و پروتئین Reelin را در بیماری‌های نوروژنراتیو همچون بیماری آلزایمر گزارش کرده‌اند (۸).

امروزه داروهای ضد افسردگی علاوه بر خواص ضد افسردگی و آرام‌بخشی شان، به دلیل اثرات ضد التهابی و محافظتی خود مورد توجه زیادی قرار گرفته‌اند. این داروها به دلیل جلوگیری از بازجذب انتقال دهنده‌های عصبی مانند دوپامین، نوراپتیکرین و استیل کولین به پایانه‌های عصبی، منجر به افزایش در دسترس پذیری آن‌ها در مغز شده و از این‌رو می‌تواند فرایندهای شناختی را تحت تأثیر قرار دهد (۹). ایمی پرامین جزئی از داروهای ضد افسردگی سه حلقه‌ای می‌باشد که معمولاً در انواع اختلالات روانی استفاده می‌شود. نشان داده شده است که ایمی پرامین با تأثیر بر فرایند نوروژن و بازسازی نورونی می‌تواند بر روی عملکردهای شناختی تأثیرگذار باشد (۱۰). همچنین گزارش شده است که تیمار با ایمی پرامین، سبب افزایش تکثیر سلولی و نیز کاهش آپوپتوز در هیپوکامپ موش‌های صحرابی دچار ایسکمی مغزی می‌شود (۱۱).

مطالعه‌ای دیگر نشان داده است که ایمی پرامین با مهار تولید



شکل ۱. پروتکل تزریق داروها و زمانبندی ارزیابی‌های رفتاری و مولکولی

۵۰×۱۰ cm هستند. دو بازوی دیگر دارای دیوارهایی به رنگ تیره و با ابعاد ۵۰×۱۰×۴۰ cm در طرفین می‌باشند. ارتفاع این دستگاه از سطح زمین ۵۰ cm بود و به همین دلیل ماز مرتفع نامیده می‌شود. این تست در ۲ روز متوالی و در طی ۲ مرحله انجام گرفت. در روز ۱۵ اکتساب حافظه و ۲۴ ساعت بعد به یادآوری حافظه مورد بررسی قرار گرفت. برای ارزیابی اکتساب حافظه، حیوان در انتهای یکی از بازوهای باز قرار گرفت، بطوری که صورتش به سمت مخالف مرکز بود، سپس مدت زمانی که طول کشید تا حیوان از بازوی باز به یکی از بازوهای بسته وارد شود به عنوان (Initial transfer latency) ITL در نظر گرفته شد. در مرحله‌ی به یادآوری حافظه حیوان در انتهای همان بازوی بازی که در مرحله‌ی بررسی اکتساب حافظه قرار گرفته بود، قرار داده شد و مدت زمانی که طول کشید تا حیوان از بازوی باز به یکی از بازوهای بسته وارد شود به عنوان (Retention transfer latency) RTL در نظر گرفته شد. مدت زمان کل این آزمون ۹۰ ثانیه بود و در صورتی که حیوان در زمان تعیین شده بازوی بسته را پیدا نمی‌کرد، RTL برای حیوان ۹۰ ثانیه ثبت شده و به عنوان درصد تأخیر آزمون اولیه بیان گردید. کاهش در RTL به عنوان شاخص بهبود عملکرد شناختی در نظر گرفته شد.^(۱۷)

ارزیابی حافظه‌ی اجتنابی غیر فعال: دستگاه مربوط به سنجش این تست از دو بخش مجزا تشکیل شده است که توسط یک درب گیوتوئی از هم جدا شده‌اند و ابعاد هر بخش ۳۰×۲۰×۲۰ cm می‌باشد. این تست در ۳ مرحله و در ۲ روز متوالی انجام گرفت: ۱) مرحله‌ی عادت‌سازی: در این مرحله هر حیوان در داخل بخش روشن و پشت به درب قرار گرفت، ۱۰ ثانیه بعد درب برداشته شد تا حیوان وارد بخش تاریک شود، به محض ورود به این بخش درب بسته شد تا حیوان ۳۰ ثانیه آزادانه در آن جا حرکت نماید.^(۲) مرحله‌ی

انتخاب دوز ایمی پرامین (۲۰ mg/kg) و تزریق داخل صفاقی آن به مدت ۱۴ روز متوالی، جهت تیمار موش مدل بیماری آزاییمر، نیز بر اساس مطالعات پیشین صورت گرفت.^(۱۳) پروتکل تزریق داروها و زمانبندی ارزیابی‌های رفتاری و مولکولی در شکل ۱ ارائه شده است.

نحوه‌ی القاء آنرا یافتم: برای این منظور موش‌ها توسط تزریق داخل صفاقی مخلوط کتامین و زایلازین (به ترتیب ۸۰ و ۲۰ mg/kg; Stoelting, USA) بهبود شدند و سپس در دستگاه استریوتاکس (Stoelting, USA) قرار گرفتند. تزریق (۳ mg/kg; Sigma-Aldrich, USA) STZ در مدت ۱۵/۰ mm با مختصات DV = -۳/۶ mm و AP = -۰/۸ mm (اربعه در بطن) با مختصات ML = ± ۱/۵ mm در هر بطن (R.L.Fine Chem, India) ایمی پرامین هیدروکلراید (HCl) مورد استفاده قرار گرفت. جهت تیمار حیوانات دریافت‌کننده‌ی STZ مورد استفاده قرار گرفت.

ارزیابی فعالیت حرکتی: برای این منظور از دستگاه Open field استفاده شد. این دستگاه شامل یک جعبه از جنس پلاستیک فشرده شفاف با ابعاد ۴۰×۴۰×۱۰ cm است که به حس‌گرهای مادون قرمز در فاصله‌ی ۲/۵ cm از لبه پایینی جعبه مجهز می‌باشد. قبل از شروع و بعد از اتمام تزریق داروها (به ترتیب روزهای ۰ و ۱۴) حیوان به مدت ۵ دقیقه در دستگاه قرار گرفت و سپس فعالیت‌های حرکتی افقی هر حیوان (تعداد عبورها از مقابل حس‌گرهای مادون قرمز) در این مدت توسط دستگاه ثبت شد و به عنوان شاخصی از فعالیت حرکتی مورد ارزیابی قرار گرفت.^(۱۶)

ارزیابی اکتساب و به یادآوری حافظه: برای این منظور از تست ماز به علاوه‌ی شکل مرتفع (Elevated plus maze) استفاده شد. این دستگاه از جنس پلکسی گلس بوده و دارای چهار بازو به شکل صلیب است. دو بازو فاقد هرگونه دیواره بوده و به ابعاد

اتانول ۷۵ درصد شستشو و سپس در ۲۰ µl RNase-Free حل شد. غلظت RNA با استفاده از دستگاه نانوراپ و روش طیفستجی نوری سنجیده شد و نمونه‌هایی که نسبت جذب ۲۸۰ به ۲۶۰ بین ۱/۸ تا ۲ داشتند، به عنوان نمونه‌های خالص RNA در نظر گرفته شدند. برای ارزیابی کیفیت RNA، نمونه‌های استخراج شده بر روی ژل آکارز ۱ درصد الکتروفورز شدند. برای نمونه‌هایی که RNA با کیفیت خوبی داشتند دو باند در ناحیه‌ی ۱۸ s و ۲۸ s بر روی ژل قابل مشاهده بود. سترن cDNA با استفاده از یک میکروگرم RNA در حجم ۱ µl و با استفاده از پرایمرهای OligoDТ و Easy cDNA Random hexamer Synthesis Kit ساخت شرکت پارس طوس ایران انجام گرفت. توالی پرایمرهای مورد استفاده در این مطالعه (جدول ۱) به کمک نرمافزار Oligo analysis طراحی و توسط شرکت تکاپوزیست سترن شدند. بیان ژن انسولین و فاکتورهای دخیل در مسیر سیگنالینگ انسولین با استفاده از مستر میکس حاوی Sybergreen و روش Real-Time PCR اندازه‌گیری شد. مخلوط واکنش در حجم نهایی ۱۵ µl تشکیل شد که شامل ۲ µl cDNA، ۱ µl از پرایمرهای Sybergreen و Reverse Forward و ۷/۵ µl Reverse Forward شرکت Amplicon دانمارک و ۳/۵ µl آب مقطر دو بار تقطیر بود. برنامه‌ی زمانی و دمایی دستگاه Real-Time PCR شامل چرخه‌ی اول: ۱۵ دقیقه در دمای ۹۵ °C، چرخه‌ی دوم: ۳۰ ثانیه در دمای ۹۵ °C چرخه‌ی سوم: ۳۰ ثانیه در دمای ۶۰ °C و چرخه‌ی چهارم: ۳۰ ثانیه در دمای ۷۲ °C بود (چرخه‌های دوم تا چهارم ۴۰ مرتبه تکرار شدند) (۱۹). پس از پایان واکنش نتایج بیان ژن به صورت کمی به دست آمد و آنالیز آنها با استفاده از فرمول $2^{-\Delta\Delta Ct}$ انجام گرفت. نتایج تمام ژن‌ها نسبت به ژن بتا-اکتین، به عنوان کنترل داخلی، نرمالایز شد و سپس مقایسه‌ی بین گروه‌ها انجام گرفت (۲۰).

آموزش: این مرحله ۳۰ دقیقه بعد از مرحله‌ی ۱ انجام گرفت. ابتدا دست‌ها، پاها و دم حیوان خیس شد و سپس در بخش روش و پشت به درب قرار گرفت، بعد از ۱۰ ثانیه، درب برداشته و اجازه‌ی ورود به بخش تیره به حیوان داده شد. به محض ورود حیوان به بخش تیره، درب بسته و جریان الکتریکی با شدت ۱ میلی‌آمپر و فرکانس ۵۰ هرتز به مدت ۲ ثانیه از پاهای حیوان عبور داده شد. ۲۰ ثانیه پس از اعمال شوک درب برداشته شد تا حیوان وارد بخش روش شود. اگر حیوان بعد از ورود به بخش روش، ۱۲۰ ثانیه در این بخش می‌ماند و وارد بخش تاریک نمی‌شود، نشان‌دهنده‌ی شکل‌گیری یادگیری در حیوان بود. (۳) مراحل به یادآوری حافظه: این مراحل به ترتیب ۹۰ دقیقه و ۲۴ ساعت بعد از مرحله‌ی آموزش جهت ارزیابی حافظه‌ی کوتاه‌مدت (Short-term memory) STM و حافظه‌ی بلندمدت (Long-term memory) LTM انجام شد، با این تفاوت که هیچ شوک الکتریکی به پای حیوان وارد نمی‌شد. میزان تأخیر در ورود اولیه به بخش تاریک (Step-through latency) STL در طی ۳۰ ثانیه ثبت شد (۱۸).

تکنیک (Real- Time polymerase chain reaction)

استخراج RNA از بافت هیپوکامپ، توسط کیت RNX-Plus ساخت شرکت سیناژن ایران انجام شد. بدین منظور، ۱ ml محلول RNX-Plus به میکروتیوب حاوی بافت هیپوکامپ اضافه و به مدت ۳ دقیقه درون دستگاه هموژن شده اضافه شد و به مدت ۵ دقیقه در دمای ۴ °C قرار گرفت. سپس به منظور حذف اجزای پروتئینی، بافت هموژن شده به مدت ۱۵ دقیقه با دور ۱۲۰۰۰ rpm در دمای ۴ °C سانتریفیوژ شد. در پایان این مرحله، سوپرناتانت بالایی حاوی RNA جداسازی و به اندازه‌ی حجم آن محلول ایزوپروپانول اضافه شد و به مدت ۱۵ دقیقه با دور ۱۲۰۰۰ rpm در دمای ۴ °C سانتریفیوژ شد. پلت (pellet) حاوی RNA در ۱ ml

جدول ۱. توالی پرایمرهای مورد استفاده

Reverse primers (5'-3')	Forward primers (5'-3')	Genes
GTAGAGGGAGCAGATACTGGT	ATCTTCAGACCTTGGCACTGG	Ins
GAGCGGAGGAGTCTTCATT	GGTGTAGTGGCTGTCACATT	IR
GACTTCTTGTCCCATCACTTGAA	GCTAACGCATCTCCTCAGAATGGAA	IRS2
ATGTGTATGGACCCGGAAGG	ATGTGTATGGACCCGGAAGG	PI3K
TGCCATCATTCTGAGGAGGAA	ACGTAGCCATTGTGAAGGAGG	Akt
AGGATGGTCAAGTTGCCGAG	AGAACCTGGCTCAAGTACGC	mTOR
AACGCAGCTCAGTAACACTCC	TCTATCCTGGCCTCACTGTC	β-actin

آزمون Kolmogorov-Smirnov استفاده شد. آزمون واریانس یکطرفه PA برای بررسی داده‌های بدست آمده از تست EPM و وسترن بلاست مورد استفاده قرار گرفت و آزمون Real-Time PCR جهت آنالیز داده‌های حاصل از آماری Repeated-measures ANOVA استفاده شد. برای مشخص نمودن گروههای دارای اختلاف معنی‌دار از آزمون تعقیبی Tukey استفاده شد. نرمافزار SPSS (version 22, IBM Corporation, Armonk, NY) نسخه‌ی ۲۲ (Graph Pad Prism نسخه‌ی ۸ Graph Pad Software, USA) برای ترسیم نمودارها استفاده شدند. سطح معنی‌داری ($P < 0.05$) در نظر گرفته شد و نتایج به صورت میانگین \pm انحراف معیار ارائه شدند.

این مقاله مستخرج از پایان‌نامه کارشناسی ارشد می‌باشد که با کد اخلاق در پژوهش IR.KHU.REC.1401.027 و با حمایت معاونت پژوهشی دانشگاه خوارزمی به انجام رسیده است.

یافته‌ها

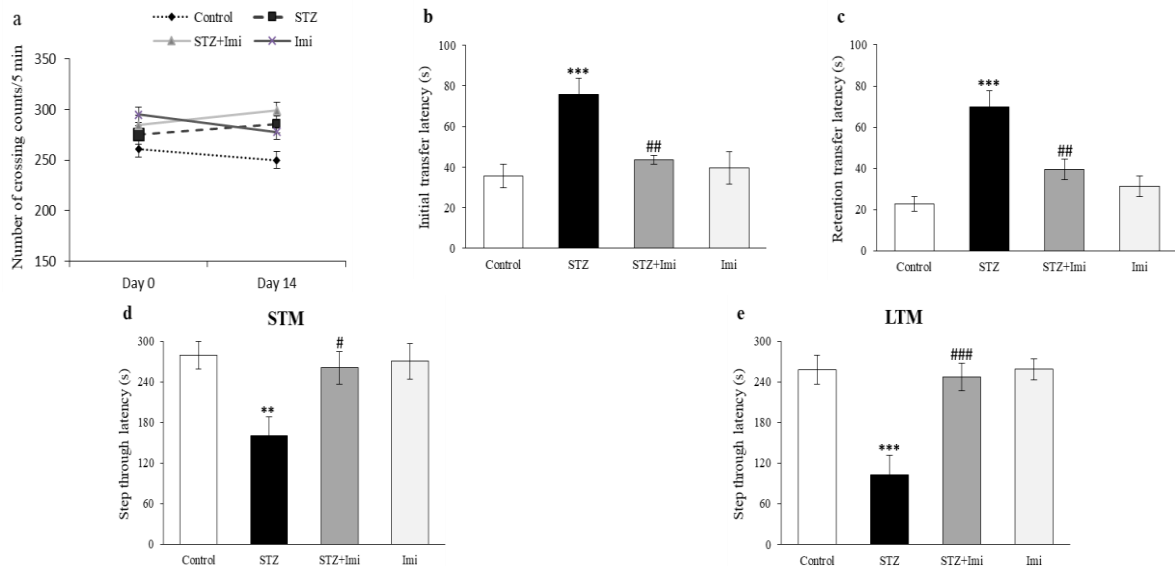
نتایج ارائه شده در شکل ۲a نشان داد که بین فعالیت حرکتی حیوانات گروه STZ و گروه شاهد در روز صفر $275/2 \pm 3/1$ در مقابل $285/4 \pm 4/38$ و روز $14 261/2 \pm 4/2$ در مقابل $250/1 \pm 4/5$ تفاوت معنی‌داری وجود نداشت. همچنین نتایج تفاوت معنی‌داری را در فعالیت حرکتی حیوانات گروه STZ و گروه STZ تیمار شده با ایمی‌پرامین در روز صفر و 14 نشان نداد (به ترتیب $284/8 \pm 3/4$ و $299/1 \pm 3/51$). بین حیوانات گروه شاهد و گروهی که ایمی‌پرامین را به تنها بی دیافت نموده بودند نیز در روز صفر $295/1 \pm 3/23$ و روز $14 277/9 \pm 5/1$ ($P > 0.05$) اختلاف معنی‌داری مشاهده نشد.

نتایج حاصل از تست EPM نشان داد که تزریق STZ به طور قابل توجهی سبب افزایش حضور حیوان در بازوی‌های باز در مرحله‌ی اکتساب ($75/75 \pm 8/15$) و به یادآوری حافظه ($70 \pm 7/84$) نسبت به گروه شاهد ($5/97 35/63 \pm 3/58$ و $22/88 \pm 3/58$) شد ($P < 0.001$). که دلالت بر بروز اختلال در اکتساب و به یادآوری حافظه به دلیل تزریق STZ دارد. در حالی که تزریق ایمی‌پرامین به موش‌های تیمار شده با سبب کاهش مدت زمان سپری شده در بازوی‌های باز در مرحله‌ی اکتساب ($43/63 \pm 2/15$) و به یادآوری حافظه ($39/63 \pm 5/01$) نسبت به گروه STZ کردید ($P < 0.01$). این نتایج دلالت بر افزایش توانایی حیوان در پیدا کردن سریع بازوی‌های بسته در گروه STZ تیمار شده با ایمی‌پرامین دارد. شایان ذکر است که تزریق ایمی‌پرامین به تنها، تأثیری بر توانایی اکتساب ($39/5 \pm 7/93$) و به یادآوری حافظه ($31/38 \pm 4/98$) در مقایسه با گروه شاهد نداشت ($P > 0.05$) (شکل ۲b و ۲c).

تکنیک وسترن بلاست: این تکنیک برای بررسی سطح پروتئین Reelin (به عنوان فاکتور مهم در شکل پذیری سیناپسی) مورد استفاده قرار گرفت. بافت‌های هیپوکامپ در بافر مخصوص لیزر (۵۰ میلی‌مولار Tris-HCl با $pH = 8$ ۱۵۰ میلی‌مولار NaCl، ترایتون X-100 ۰/۱ درصد، سدیم دزوکسی کولات ۰/۲۵ درصد، سدیم دودسیل سولفات ۰/۱ درصد، ۱ میلی‌مولار اتیلن دی‌آمین تتراسیک اسید، ۱ میلی‌مولار سدیم پیروفسفات، ۱۵ میلی‌مولار فلوراکسید و ۱ میلی‌مولار فنیل متیل‌سولفونیل فلوراکسید) هموژن شدند. سپس به مدت ۱۰ دقیقه در دمای $4^\circ C$ با سرعت ۱۲۰۰ rpm سانتریفیوژ شدند و در پایان مایع شفاف بالایی حاوی پروتئین از لایه پایینی جداسازی گردید. سپس نمونه‌ها بر اساس پروتکل کیت (Thermo Scientific, Rockford, IL) از BCA (BCA) در لحاظ محتوای پروتئینی تعیین غلظت شده و در مرحله‌ی بعد ۶۰ میکروگرم از پروتئین‌ها بر روی ژل پلی‌اکریل آمید ۱۲ درصد الکتروفورز شدند. سپس پروتئین‌های جدا شده در ژل، توسط روش (Millipore, Billercia, MA) PVDF کاغذ بر روی کاغذ متنقل شدند.

به منظور کاهش باندهای غیراختصاصی، کاغذ PVDF پس از دریافت پروتئین‌ها به مدت ۱ ساعت در دمای اتاق با شیر خشک بدون چربی ۲ درصد بلوکه شد و به مدت ۱۲ ساعت در دمای $4^\circ C$ با آنتی‌بادی اولیه Reelin (#ab78540) (Abcam) با رقت ۱:۱۰۰۰ انکوبه شد. پس از اتمام زمان ۱۲ ساعت، کاغذ PVDF ۳ بار، هر بار به مدت ۵ دقیقه با محلول TBST شسته شد و سپس به مدت ۱ ساعت در دمای اتاق با آنتی‌بادی ثانویه (Anti-Rabbit IgG (labeled with horseradish peroxidase, Abcam, #ab97051 با رقت ۱:۱۲۰۰۰ انکوبه گردید. پس از اتمام این مرحله نیز کاغذ PVDF ۳ بار به مدت ۵ دقیقه با محلول TBST شسته شد. در نهایت، از معرف (Bio-Rad, Hercules, CA) ECL (برای مرئی B) نمودن باندها استفاده شد. ابتدا به نسبت مساوی دو محلول A و B باهم مخلوط شدند و کاغذهای PVDF به مدت ۵ تا ۲۰ ثانیه در معرض این محلول قرار گرفتند و اثر آن بر روی فیلم X-ray به این صورت ظاهر شد که کاغذها پس از قرار گرفتن در معرض معرف ECL به داخل Cassette X-ray film شدت باشند. در نهایت فیلم‌های ظاهر آشکارسازی فیلم به تاریکخانه متنقل شدند. در نهایت فیلم‌های ظاهر شده، اسکن شدند و توسط نرمافزار Image J شدت باندها اندازه‌گیری شد. از آنتی‌بادی بتا اکتین (Cell Signaling, #4970) با رقت ۱:۷۵۰ به عنوان کنترل داخلی و برای نرمالایز داده‌ها استفاده شد (۲۱).

تجزیه و تحلیل داده‌ها: برای اطمینان از نرمال بودن توزیع داده‌ها از



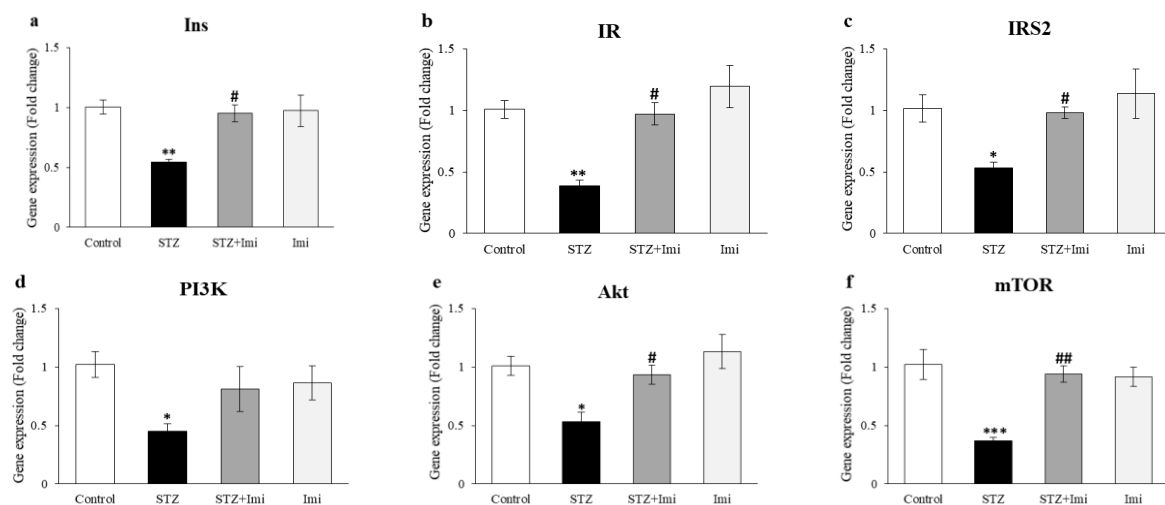
شکل ۲. تأثیر ایمی پرامین بر فعالیت حرکتی، اکتساب و به یادآوری حافظه و حافظه اجتنابی کوتاه و بلندمدت در موش‌های تیمار شده با (a) STZ، (b) آزمایشی ۸ موش بود. ***: $P < 0.001$ و **: $P < 0.01$ در مقایسه با گروه شاهد، $>$: $P < 0.05$ ، $#$: $P < 0.01$ و $##$: $P < 0.001$ در مقایسه با گروه STZ.

انسولین (IR) 0.04 ± 0.07 در مقابله با IRS2، 0.09 ± 0.05 در مقابله با PI3K، 0.07 ± 0.04 در مقابله با Akt، 0.06 ± 0.02 در مقابله با mTOR و 0.03 ± 0.01 در مقابله با IRS1، 0.08 ± 0.01 در مقابله با STZ نسبت به گروه شاهد نداشت ($P > 0.05$). ایمی پرامین به ترتیب 0.01 ± 0.001 ، 0.05 ± 0.005 ، 0.04 ± 0.004 ، 0.08 ± 0.008 و 0.05 ± 0.005 در مقابله با IRS2، PI3K، Akt، mTOR و STZ نسبت به گروه شاهد نداشت ($P < 0.05$). در حالی که تیمار با ایمی پرامین به طور قابل ملاحظه ای منجر به افزایش بیان ژن Ins (0.07 ± 0.08)، IR (0.08 ± 0.09) و IRS2 (0.08 ± 0.09) و Akt (0.08 ± 0.09) نسبت به گروه STZ شد ($P < 0.05$). لازم به ذکر است که این افزایش در مورد ژن PI3K از لحاظ آماری در سطح معنی داری قرار نداشت ($P > 0.05$). ایمی پرامین به تنها یک تأثیری بر بیان ژن Ins (0.07 ± 0.08)، IR (0.09 ± 0.10) و IRS2 (0.09 ± 0.10) نسبت به گروه شاهد نداشت ($P > 0.05$). ایمی پرامین به ترتیب 0.01 ± 0.001 ، 0.05 ± 0.005 ، 0.04 ± 0.004 ، 0.08 ± 0.008 و 0.05 ± 0.005 در مقابله با IRS1، Akt، mTOR، PI3K و STZ نسبت به گروه شاهد نداشت ($P < 0.05$). این نتایج نشان می دهند که ایمی پرامین می تواند اثرات انسولین را در مورد ژن IR، Akt، mTOR و STZ را افزایش داد اما این اثرات در مورد ژن PI3K نداشت.

نتایج مطالعهی حاضر همچنین نشان داد که STZ سبب کاهش سطح پروتئین Reelin نسبت به گروه شاهد شد ($5/24 \pm 54/72$ در مقایل $4/03 \pm 100/001$ ($P < 0/001$). در حالی که تیمار با ایمی پرامین به طور قابل توجهی منجر به افزایش سطح پروتئین Reelin ($85/45 \pm 3/98$) نسبت به گروه STZ گردید ($P < 0/001$). ایمی پرامین به تنهایی تأثیری بر سطح بیان Reelin ($102/56 \pm 3/13$) نداشت ($P > 0/05$). نسبت به گروه شاهد نداشت ($P > 0/05$).

به علاوه، نتایج حاصل از تست PA نشان داد که تزریق STZ سبب کاهش معنی دار در زمان تأخیر اولیه (STL) در ورود به بخش تاریک در مرحله‌ی بررسی حافظه اجتنابی کوتاه مدت (STM) ($160/88 \pm 27/66$) و نیز در مرحله‌ی بررسی حافظه اجتنابی بلندمدت (LTM) ($102/13 \pm 29/74$) نسبت به گروه شاهد پلندمدهای ($279/63 \pm 20/38$) و ($21/23 \pm 258 \pm 0/01$) شد (به ترتیب $< 0/001$ و $< 0/001$). در حالی که تیام با اینمی پرامین باعث افزایش STL در ورود به بخش تاریک در این دو مرحله (به ترتیب $22/91 \pm 260/50$) و (به ترتیب $246/88 \pm 20/51$) نسبت به گروه STZ گردید (به ترتیب $< 0/001$ و $< 0/001$ ، که دلالت بر افزایش حافظه اجتنابی غیرفعال حیوان توسط اینمی پرامین در به یادآوری شوک در بخش تاریک دستگاه را دارد. شایان ذکر است که تزریق اینمی پرامین به تنها یک اثری بر روی این مراحل (به ترتیب $25/98 \pm 15/75$ و $270/13 \pm 258/38$) در مقایسه با گروه شاهد نداشت ($< 0/05$) (شکل ۲d و ۲e). لازم به ذکر می‌باشد در تمامی گروه‌ها وزن حیوانات در روز صفر (قبل از تزریق STZ)، روز ۷ و همچنین بعد از آخرین تزریق اینمی پرامین (روز ۱۴) اندازه‌گیری شد. نتایج تغییر معنی داری را در وزن حیوانات گروه‌های مختلف نشان نداد (نتایج گزارش نشانه است).

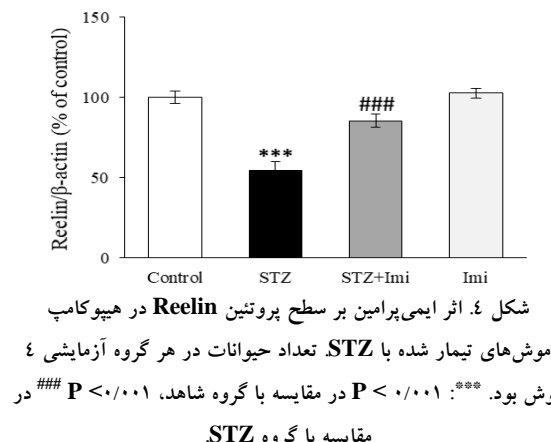
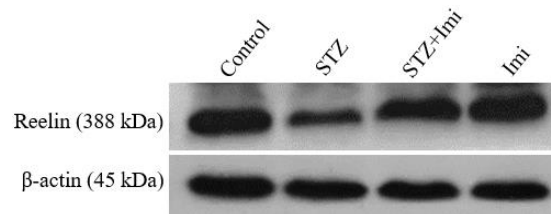
نتایج حاصل از مطالعات مولکولی نیز نشان داد که در حیوانات دریافت کننده STZ در مقایسه با گروه شاهد کاهش معنی‌داری در بیان ژن انسولین (Ins) 0.02 ± 0.05 در مقابل 0.05 ± 0.01 ، رسپتور



شکل ۳. اثر ایمی پرامین بر سطح بیان ژن انسولین و فاکتورهای دخیل در مسیر سیگنالینگ انسولین در هیپوکامپ موش‌های تیمار شده با STZ (a) انسولین (b) رسپتور انسولین (c) IRS2 (d) PI3K (e) IR (f) Akt (g) mTOR (h) در مقایسه با گروه STZ $P < 0.05$ و $**: P < 0.01$ و $***: P < 0.001$ در مقایسه با گروه شاهد، $#: P < 0.05$ و $#: P < 0.01$ در مقایسه با گروه ایمی.

در این مطالعه، موش‌های تیمار شده با STZ بعد از گذشت دو هفته، اختلال در اکتساب و به یادآوری حافظه را در تست EPM نیز اختلال در حافظه اجتنابی کوتاه و بلندمدت را در تست PA نشان دادند. نتایج حاصل از بررسی فعالیت‌های حرکتی حیوانات نیز تأیید نمود که داده‌های حاصل از تست‌های رفتاری به دلیل وجود اختلالات حرکتی در حیوانات نبوده است. در توافق با یافته‌های ما، مطالعات بسیاری نشان داده‌اند که تزریق درون‌بطنی STZ بدون تحت تأثیر قرار دادن فعالیت‌های حرکتی حیوان و نیز سطح گلوكز خون، سبب بروز اختلال در فرایندهای شناختی همچون حافظه و یادگیری در موش‌های صحرایی می‌شود (۱۴، ۲۲-۲۴). مطالعات همچنین نشان داده‌اند که موش‌های صحرایی تیمار شده با STZ طیف وسیعی از تغییرات پاتولوژیک همچون استرس اکسیداتیو، مقاومت به انسولین، التهاب عصبی، نقص در سیستم کوینتریک و کاهش ارتباطات سیناپسی در هیپوکامپ را نشان می‌دهند که تماماً این عوامل می‌توانند در بروز اختلالات شناختی دخیل باشند (۲۵).

نتایج مطالعه‌ی حاضر همچنین آشکار نمود که STZ سبب کاهش بیان ژن انسولین و نیز فاکتورهای دخیل در مسیر سیگنالینگ انسولین (mTOR، Akt، PI3K، IRS2، IR) در هیپوکامپ موش‌ها گردید. مسیر سیگنالینگ انسولین به عنوان یک هدف مهم جهت درمان اختلالات شناختی، اخیراً مورد توجه زیادی قرار گرفته است، زیرا مطالعات بسیاری کاهش در میزان انسولین و یا اختلال در فاکتورهای دخیل در مسیر سیگنالینگ انسولین از جمله اختلال در میزان بیان و عملکرد رسپتور انسولین را در هیپوکامپ بیماران مبتلا به آزالایمر گزارش کرده‌اند و نیز نشان داده‌اند که این اختلالات می‌توانند



شکل ۴. اثر ایمی پرامین بر سطح پروتئین Reelin در هیپوکامپ موش‌های تیمار شده با STZ تعداد حیوانات در هر گروه آزمایشی ۴ موش بود. $***: P < 0.001$ در مقایسه با گروه شاهد، $###: P < 0.001$ در مقایسه با گروه ایمی.

بحث

نتایج مطالعه‌ی حاضر، تأثیر مثبت ایمی پرامین را در بهبود حافظه‌ی موش‌های صحرایی تیمار شده با STZ نشان داد، که این رویدادها با افزایش بیان ژن انسولین، فاکتورهای دخیل در مسیر سیگنالینگ انسولین و نیز افزایش سطح پروتئین Reelin در هیپوکامپ این حیوانات همراه بودند.

و وجود دارد (۳۲). در مطالعه‌ای گزارش شده است که ایمی پرامین با مهار TNF- α و جلوگیری از تجمع پروتئین آمیلوبتید بتا در مجر، سبب کاهش اختلالات شناختی در موش‌های مدل بیماری آلزایمر می‌شود (۳۳). مطالعه‌ای دیگر نشان داد که ایمی پرامین با کاهش سطح پروتئین آمیلوبتید بتا و نیز کاهش تشکیل دستجات نوروفیبریلاری می‌تواند منجر به بهبود فرایندهای شناختی در بیماران آلزایمری شود (۳۴). نتایج یک تحقیق دیگر نشان داده است که تجویز مزمن ایمی پرامین به موش‌های دچار استرس خفیف مزمن منجر به بهبود عملکردهای شناختی در این حیوانات می‌شود (۳۵). در مطالعه‌ای دیگر تیمار با ایمی پرامین منجر به افزایش تکثیر سلولی و نیز کاهش تخریب عصبی در هیپوکامپ موش‌های صحرایی دچار ایسکمی مغزی شده است (۱۱). بعلاوه گزارش شده است که ایمی پرامین با افزایش نوروزن در هیپوکامپ موش‌های دچار ترومای مغزی عملکردهای شناختی را در این موش‌ها بهبود می‌بخشد (۳۶).

در مطالعه‌ای دیگر نشان داده شد که ایمی پرامین با کاهش سطح کاسپاز ۳، P38 JNK و نیز افزایش فرم فعل ERK در هیپوکامپ موش‌های صحرایی تیمار شده با STZ، سبب بهبود حافظه‌ی فضایی در این موش‌ها می‌شود (۱۲). بعلاوه گزارش شده است که ایمی پرامین با افزایش بیان Reelin در هیپوکامپ سبب کاهش رفتارهای شبه افسردگی در موش‌های صحرایی می‌شود (۳۷). با توجه به اینکه مطالعات نشان داده‌اند فعل شدن مسیر PI3K/AKT منجر به افزایش فعالیت سیستم کولینرژیک، افزایش بقاء سلول‌های عصبی و نیز بهبود عملکردهای شناختی می‌شود (۴) و نیز با توجه به اینکه اهمیت مسیر سیگنالینگ انسولین و شکل پذیری سیناپسی در فرایندهای شناختی ثابت شده است (۸)، بنابراین این احتمال وجود دارد که در مطالعه‌ای حاضر ایمی پرامین با افزایش بیان فاکتورهای دخیل در مسیر سیگنالینگ انسولین و نیز فاکتور دخیل در شکل پذیری سیناپسی سبب کاهش اختلالات حافظه‌ی ناشی از STZ شده است.

از آن جایی که اختلال در فرایند نوروزن و نیز بروز التهاب عصبی در پیشرفت بیماری‌های نورودژنراتیو همچون بیماری آلزایمر نقش بسزایی دارد، از محدودیت‌های این مطالعه می‌توان به انجام مطالعات ایمونوہیستوشیمی و ارزیابی بیان فاکتورهای دخیل در نوروزن و التهاب عصبی در بافت هیپوکامپ گروه‌های مورد بررسی در این مطالعه اشاره نمود، که انجام آن برای مطالعات آتی پیشنهاد می‌شود.

نتیجه‌گیری

به طور کلی نتایج حاصل از این مطالعه نشان داد که تزریق درون

منجر به بروز استرس اکسیداتیو، آپوپتوز، التهاب عصبی، هایپرفسفوریلاسیون پروتئین تائو و در نهایت اختلال در عملکردهای شناختی شوند (۴). مطالعه‌ای نشان داده است که اختلال در مسیر سیگنالینگ انسولین با ایجاد مقاومت به انسولین در مجر می‌تواند خطر ابتلا به فراموشی را افزایش دهد (۷). بعلاوه در توافق با یافته‌های ما، گزارش شده است که تزریق درون بطنی STZ از طریق هایپرفسفوریلاسیون پروتئین تائو و نیز اختلال در مسیر سیگنالینگ انسولین می‌تواند سبب بروز اختلالات شناختی در موش‌های صحرایی شود (۸). مطالعات دیگر نیز نشان داده‌اند تزریق درون بطنی STZ از طریق افزایش التهاب عصبی، تجمع پروتئین آمیلوبتید بتا و نیز اختلال در مسیر سیگنالینگ انسولین (کاهش بیان IR، IRS1، Akt، PI3K، IRS1، هیپوکامپ بیان GSK-3 β) در هیپوکامپ و کورتکس موش‌های صحرایی، سبب بروز اختلال در حافظه‌ی فضایی این حیوانات می‌شود (۹، ۱۰). در مطالعه‌ای حاضر، تزریق درون همچنین سبب کاهش سطح پروتئین Reelin (فاکتور مهم دخیل در شکل پذیری سیناپسی) در هیپوکامپ موش‌ها گردید. در توافق با نتایج ما، مطالعات نشان داده‌اند که تزریق درون بطنی STZ منجر به بروز استرس اکسیداتیو، نقص در عملکرد میتوکندری، کاهش شکل پذیری سیناپسی در ناحیه‌ی CA1 هیپوکامپ و نیز بروز اختلال در حافظه‌ی شناختی و حافظه‌ی فضایی موش‌های صحرایی می‌شود (۱۰، ۱۱). با توجه به نتایج حاصل از مطالعه‌ای حاضر و نیز یافته‌های مطالعات پیشین، این احتمال وجود دارد که STZ حداقل بخشی از اثرات خود در بروز اختلالات شناختی را با تأثیر بر مسیر سیگنالینگ انسولین و شکل پذیری سیناپسی در هیپوکامپ اعمال می‌نماید، بنابراین با تمرکز بر روی این مسیرها می‌توان راهکارهایی را برای کترول پیشرفت بیماری آلزایمر مطرح نمود.

در این مطالعه همانطور که پیش‌تر نیز ذکر شد، جهت بهبود و یا کاهش اختلالات حافظه ناشی از STZ از ایمی پرامین استفاده شد تا مشخص شود آیا ایمی پرامین با تحت تأثیر قرار دادن فاکتورهای دخیل در مسیر سیگنالینگ انسولین و شکل پذیری سیناپسی، که اهمیت زیادی در بیماری‌های نورودژنراتیو همچون بیماری آلزایمر دارند، می‌تواند موجب بهبود و یا کاهش نفایص حافظه در موش‌های تیمار شده با STZ شود یا خیر. نتایج حاصل نشان داد که تزریق ایمی پرامین به مدت ۱۴ روز متوالی موجب افزایش توانایی اکتساب و به یادآوری حافظه و نیز بهبود حافظه اجتنابی کوتاه و بلندمدت در موش‌های تیمار شده با STZ گردید و همچنین بیان ژن انسولین، فاکتورهای دخیل در مسیر سیگنالینگ انسولین و نیز پروتئین Reelin را در هیپوکامپ این حیوانات افزایش داد. شواهدی مبنی بر اثرات in-vivo محافظتی ایمی پرامین بر روی سلول‌های عصبی در مطالعات

هدف درمانی امیدوارکننده برای کاهش و یا بهبود اختلالات حافظه در بیماران آلزایمری پیشنهاد گردد.

تشکر و قدردانی

این مقاله مستخرج از پایان نامه‌ی دانشجوی کارشناسی ارشد به شماره‌ی ۲۹۲۰۶۵۶ می‌باشد که با حمایت معاونت پژوهشی دانشگاه خوارزمی به انجام رسیده است. بدین‌وسیله از معاونت پژوهشی دانشگاه خوارزمی تقدیر و تشکر می‌شود.

بطنی STZ سبب بروز اختلال در اکتساب و به یادآوری حافظه و نیز اختلال در حافظه‌ی اجتنابی کوتاه و بلندمدت در موش‌های صحرابی شد و این اختلالات با کاهش بیان زن انسولین، فاکتورهای دخیل در مسیر سیگنالینگ انسولین و نیز کاهش سطح پروتئین Reelin در هیپوکامپ حیوانات همراه بودند. در حالیکه تزريق داخل صفاقی ایمی پرامین، با تحت تأثیر قرار دادن مسیر سیگنالینگ انسولین و شکل پذیری سیناپسی، سبب بهبود حافظه در موش‌های تیمار شده با گردید. بنابراین استفاده از ایمی پرامین می‌تواند به عنوان یک

References

1. Khan S, Barve KH, Kumar MS. Recent advancements in pathogenesis, diagnostics and treatment of Alzheimer's disease. *Curr Neuropharmacol* 2020; 18(11): 1106-25.
2. Gáspár A, Hutka B, Ernyey AJ, Tájtí BT, Varga BT, Zádori ZS, et al. Performance of the intracerebroventricularly injected streptozotocin Alzheimer's disease model in a translationally relevant, aged and experienced rat population. *Sci Rep* 2022; 12(1): 20247.
3. Agrawal R, Reno CM, Sharma S, Christensen C, Huang Y, Fisher, et al. Insulin action in the brain regulates both central and peripheral functions. *Am J Physiol Endocrinol Metab* 2021; 321(1): E156-63.
4. Pomytkin I, Costa-Nunes JP, Kasatkina V, Veniaminova E, Demchenko A, Lyundup A, et al. Insulin receptor in the brain: Mechanisms of activation and the role in the CNS pathology and treatment. *CNS Neurosci Ther* 2018; 24(9): 763-74.
5. Gabbouj S, Ryhänen S, Marttinen M, Wittrahm R, Takalo M, Kemppainen S, et al. Altered insulin signaling in Alzheimer's disease brain—special emphasis on PI3K-Akt pathway. *Front Neurosci* 2019; 13: 629.
6. Akhtar A, Sah SP. Insulin signaling pathway and related molecules: role in neurodegeneration and Alzheimer's disease. *Neurochem Int* 2020; 135: 104707.
7. Jossin Y. Reelin functions, mechanisms of action and signaling pathways during brain development and maturation. *Biomolecules* 2020; 10(6): 964.
8. Kim JW, Herz J, Kavalali ET, Monteggia LM. A key requirement for synaptic Reelin signaling in ketamine-mediated behavioral and synaptic action. *Proc Natl Acad Sci U S A* 2021; 118(20): e2103079118.
9. Kandil EA, Abdelkader NF, El-Sayeh BM, Saleh S. Imipramine and amitriptyline ameliorate the rotenone model of Parkinson's disease in rats. *Neuroscience* 2016; 332: 26-37.
10. Strelakova T, Anthony DC, Dolgov O, Anokhin K, Kubatiev A, Steinbusch HM, et al. The differential effects of chronic imipramine or citalopram administration on physiological and behavioral outcomes in naïve mice. *Behav Brain Res* 2013; 245: 101-6.
11. Schiavon AP, Milani H, Romanini CV, Foresti ML, Castro OW, Garcia-Cairasco N, et al. Imipramine enhances cell proliferation and decreases neurodegeneration in the hippocampus after transient global cerebral ischemia in rats. *Neurosci Lett* 2010; 470(1): 43-48.
12. Nobile B, Durand M, Olié E, Guillaume S, Molès JP, Haffen E, et al. The anti-inflammatory effect of the tricyclic antidepressant clomipramine and its high penetration in the brain might be useful to prevent the psychiatric consequences of SARS-CoV-2 infection. *Front Pharmacol* 2021; 12: 615695.
13. Javadpour P, Askari S, Rashidi FS, Dargahi L, Ahmadiani A, Ghasemi R. Imipramine alleviates memory impairment and hippocampal apoptosis in STZ-induced sporadic Alzheimer's rat model: possible contribution of MAPKs and insulin signaling. *Behav Brain Res* 2021; 408: 113260.
14. Akhtar A, Dhaliwal J, Saroj P, Uniyal A, Bishnoi M, Sah SP. Chromium picolinate attenuates cognitive deficit in ICV-STZ rat paradigm of sporadic Alzheimer's-like dementia via targeting neuroinflammatory and IRS-1/PI3K/AKT/GSK-3β pathway. *Infammopharmacology* 2020; 28(2): 385-400.
15. Paxinos G, Watson C. The rat brain in stereotaxic coordinates. 6th ed. Amsterdam, The Netherlands: Elsevier; 2006.
16. Kraeuter AK, Guest PC, Sarnyai Z. The open field test for measuring locomotor activity and anxiety-like behavior. *Methods Mol Biol* 2019; 1916: 99-103.
17. Sachdeva AK, Misra S, Kaur IP, Chopra K. Neuroprotective potential of sesamol and its loaded solid lipid nanoparticles in ICV-STZ-induced cognitive deficits: behavioral and biochemical evidence. *Eur J Pharmacol* 2015; 747: 132-40.
18. Beirami E, Oryan S, Seyedhosseini Tamijani SM, Ahmadiani A, Dargahi L. Intranasal insulin treatment restores cognitive deficits and insulin signaling impairment induced by repeated methamphetamine exposure. *J Cell Biochem* 2018; 119(2): 2345-55.
19. Chavoshinezhad S, Zibaii MI, Seyed Nazari MH, Ronaghi A, Asgari Taei A, Ghorbani A, et al. Optogenetic stimulation of entorhinal cortex reveals the implication of insulin signaling in adult rat's hippocampal neurogenesis. *Prog Neuropsychopharmacol Biol Psychiatry* 2021; 111: 110344.

20. Rao X, Huang X, Zhou Z, Lin X. An improvement of the $2^{\Delta} (-\Delta \Delta CT)$ method for quantitative real-time polymerase chain reaction data analysis. *Biostat Bioinforma Biomath* 2013; 3(3): 71-85.
21. Azarafrouz F, Farhangian M, Chavoshinezhad S, Dargahi S, Nassiri-Asl M, Dargahi L. Interferon beta attenuates recognition memory impairment and improves brain glucose uptake in a rat model of Alzheimer's disease: Involvement of mitochondrial biogenesis and PI3K pathway. *Neuropeptides* 2022; 95: 102262.
22. Kazkayasi I, Telli G, Nemutlu E, Uma S. Intranasal metformin treatment ameliorates cognitive functions via insulin signaling pathway in ICV-STZ-induced mice model of Alzheimer's disease. *Life Sci* 2022; 299: 120538.
23. Bassani TB, Bonato JM, Machado MM, Còppola-Segovia V, Moura EL, Zanata SM, et al. Decrease in adult neurogenesis and neuroinflammation are involved in spatial memory impairment in the streptozotocin-induced model of sporadic Alzheimer's disease in rats. *Mol Neurobiol* 2018; 55(5): 4280-96.
24. Verma V, Singh D, Kh R. Sinapic acid alleviates oxidative stress and neuro-inflammatory changes in sporadic model of Alzheimer's disease in rats. *Brain Sci* 2020; 10(12): 923.
25. Rai S, Kamat PK, Nath C, Shukla R. Glial activation and post-synaptic neurotoxicity: the key events in Streptozotocin (ICV) induced memory impairment in rats. *Pharmacol Biochem Behav* 2014; 117: 104-17.
26. Yang JJ. Brain insulin resistance and the therapeutic value of insulin and insulin-sensitizing drugs in Alzheimer's disease neuropathology. *Acta Neurol Belg* 2022; 122(5): 1135-42.
27. Benedict C, Grillo CA. Insulin resistance as a therapeutic target in the treatment of Alzheimer's disease: a state-of-the-art review. *Front Neurosci* 2018; 12: 215.
28. Liu P, Cui L, Liu B, Liu W, Hayashi T, Mizuno K, et al. Silibinin ameliorates STZ-induced impairment of memory and learning by up-regulating insulin signaling pathway and attenuating apoptosis. *Physiol Behav* 2020; 213: 112689.
29. Rajasekar N, Nath C, Hanif K, Shukla R. Intranasal insulin administration ameliorates streptozotocin (ICV)-induced insulin receptor dysfunction, neuroinflammation, amyloidogenesis, and memory impairment in rats. *Mol Neurobiol* 2017; 54(8): 6507-22.
30. Esteves IM, Lopes-Aguiar C, Rossignoli MT, Ruggiero RN, Broggini ASC, Bueno-Junior LS, et al. Chronic nicotine attenuates behavioral and synaptic plasticity impairments in a streptozotocin model of Alzheimer's disease. *Neuroscience* 2017; 353: 87-97.
31. Nabavi Zadeh F, Nazari M, Amini A, Adeli S, Barzegar Behrooz A, Fahanik Babaie J. Pre-and post-treatment of α -Tocopherol on cognitive, synaptic plasticity, and mitochondrial disorders of the hippocampus in icv-streptozotocin-induced sporadic Alzheimer's-like disease in male Wistar rat. *Front Neurosci* 2023; 17: 1073369.
32. Lieberknecht V, Engel D, Rodrigues ALS, Gabilan NH. Neuroprotective effects of mirtazapine and imipramine and their effect in pro-and anti-apoptotic gene expression in human neuroblastoma cells. *Pharmacol Rep* 2020; 72(3): 563-70.
33. Chavant F, Deguil J, Pain S, Ingrand I, Milin S, Fauconneau B, et al. Imipramine, in part through tumor necrosis factor α inhibition, prevents cognitive decline and β -amyloid accumulation in a mouse model of Alzheimer's disease. *J Pharmacol Exp Ther* 2010; 332(2): 505-14.
34. Johnson NR, Wang ACJ, Coughlan C, Sillau S, Lucero E, Viltz L, et al. Imipramine and olanzapine block apoE4-catalyzed polymerization of $\text{A}\beta$ and show evidence of improving Alzheimer's disease cognition. *Alzheimers Res Ther* 2022; 14(1): 88.
35. Erburu M, Cajaleon L, Guruceaga E, Venzala E, Muñoz-Cobo I, Beltrán E, et al. Chronic mild stress and imipramine treatment elicit opposite changes in behavior and in gene expression in the mouse prefrontal cortex. *Pharmacol Biochem Behav* 2015; 135: 227-36.
36. Han X, Tong J, Zhang J, Farahvar A, Wang E, Yang J, et al. Imipramine treatment improves cognitive outcome associated with enhanced hippocampal neurogenesis after traumatic brain injury in mice. *J Neurotrauma* 2011; 28(6): 995-1007.
37. Fenton EY, Fournier NM, Lussier AL, Romay-Tallon R, Caruncho HJ, Kalynchuk LE, et al. Imipramine protects against the deleterious effects of chronic corticosterone on depression-like behavior, hippocampal reelin expression, and neuronal maturation. *Prog Neuropsychopharmacol Biol Psychiatry* 2015; 60: 52-59.
38. Tsuneura Y, Nakai T, Mizoguchi H, Yamada K. New strategies for the treatment of neuropsychiatric disorders based on reelin dysfunction. *Int J Mol Sci* 2022; 23(3): 1829.

The Effect of Imipramine on Memory Disorder in a Rat Model of Alzheimer's Disease: Involvement of Insulin Signaling Pathway and Reelin Protein

Elmira Beirami¹, Delaram Eslimi Esfahani¹, Alireza Jamshidi Hasanabadi²

Original Article

Abstract

Background: Alzheimer's disease (AD) is a progressive neurological disorder that impairs cognitive functions. Imipramine is an antidepressant drug with antioxidant and anti-inflammatory effects on the brain. The present study aimed to investigate the effect of imipramine on memory impairment, focusing on insulin signaling pathway and synaptic plasticity in rats treated with streptozotocin (STZ).

Methods: In this experimental study, 32 male Wistar rats were divided into 4 groups: control, STZ, STZ+imipramine, and imipramine. An animal model of AD was induced by intraventricular injection of STZ (3mg/kg; 3µl/ventricle). Elevated plus maze and passive avoidance tests were used to examine cognitive functions. 24 h after STZ injection, treatment with imipramine (20mg/kg) was done intraperitoneally for 14 days. The expression level of insulin and the factors involved in the insulin signaling pathway (IR, IRS2, PI3K, Akt, and mTOR) were investigated by Real-time PCR and the protein level of Reelin (a factor involved in synaptic plasticity) was evaluated by western blot technique. One-way analysis of variance and Tukey's post hoc test were used to analyze the data.

Findings: The results showed that STZ caused memory disorders in rats and decreased the expression level of insulin and factors involved in the insulin signaling pathway, and also the protein level of Reelin. In contrast, imipramine reduced memory disorders and increased the expression of the mentioned factors in the hippocampus of animals treated with STZ.

Conclusion: Imipramine appears to reduce memory disorders in STZ-treated animals through its effects on the insulin signaling pathway and protein involved in synaptic plasticity.

Keywords: Imipramine; Alzheimer's disease; Memory disorders; Insulin; Reelin protein

Citation: Beirami E, Eslimi Esfahani D, Jamshidi Hasanabadi A. The Effect of Imipramine on Memory Disorder in a Rat Model of Alzheimer's Disease: Involvement of Insulin Signaling Pathway and Reelin Protein. J Isfahan Med Sch 2023; 41(732): 708-18.

1- Assistant Professor, Department of Animal Biology, School of Biological Sciences, Kharazmi University, Tehran, Iran

2- MSc, Department of Animal Biology, School of Biological Sciences, Kharazmi University, Tehran, Iran

Corresponding Author: Elmira Beirami, Assistant Professor, Department of Animal Biology, School of Biological Sciences, Kharazmi University, Tehran, Iran; Email: elmira.beirami@knu.ac.ir